

РАСПРЕДЕЛЕНИЕ НАПРЯЖЕНИЙ В ДИСКРЕТНОЙ МОДЕЛИ  
СЛОИСТОЙ СРЕДЫ ВБЛИЗИ РАЗРЕЗА

В. В. ПАРЦЕВСКИЙ

(Москва)

Решается плоская задача о распределении напряжений в слоистой среде вблизи разреза, перпендикулярного слоям. Приводится сопоставление с результатами для эквивалентной однородной среды. Слоистая среда представляется дискретной моделью регулярной структуры из чередующихся жестких и мягких слоев [1, 2].

Обычно при рассмотрении подобных задач предполагается, что напряжения в слоях постоянны по толщине, причем в жестких слоях учитываются только напряжения в плоскости слоев, в мягких — только поперечные касательные напряжения [3–5]. В [6, 7] было показано, что в местах, где велики градиенты напряжений, могут оказаться весьма существенными изгибные напряжения в жестких и поперечные нормальные — в мягких слоях. В [8] была сделана попытка учесть нормальные перемещения жестких слоев, но используемые авторами уравнения не согласованы с введенными кинематическими гипотезами.

1. Рассмотрим модель [2] слоистой среды (фиг. 1), состоящую из жестких слоев толщиной  $h$  с конечными жесткостями при растяжении  $A$  и изгибе  $D$ , чередующихся с мягкими толщиной  $s$ , для которых принимаются обычные предпосылки теории трехслойных пластин с мягким наполнителем. Плоская деформация среды описывается дифференциально-разностными уравнениями [2, 7]:

$$u_{\alpha}'' + \frac{\rho_1^2}{4} \left[ u_{\alpha+1} - 2u_{\alpha} + u_{\alpha-1} + \frac{1}{2} (w'_{\alpha+1} - w'_{\alpha-1}) \right] = 0 \quad (-\infty < \alpha < \infty) \quad (1.1)$$

$$w_{\alpha}^{IV} - \frac{\rho_3^2}{4} (w_{\alpha+1} - 2w_{\alpha} + w_{\alpha-1}) - \frac{\rho_2^2}{4} \left[ u'_{\alpha+1} - u'_{\alpha-1} + \frac{1}{2} (w''_{\alpha+1} + 2w''_{\alpha} + w''_{\alpha-1}) \right] = 0$$

Здесь  $u_{\alpha}$ ,  $w_{\alpha}$  — тангенциальное и нормальное перемещения точек срединной плоскости жесткого слоя с номером  $\alpha$ , отнесенные к суммарной толщине жесткого и мягкого слоев  $c = h + s$ , штрихом отмечено дифференцирование по координате  $\xi = x/c$ ; безразмерные параметры  $\rho_i^2$  зависят от жесткостей слоев и определяются формулами (1.2) работы [7].

Если среда в плоскости  $\xi = 0$  имеет разрез длиной  $2l$  и жесткие слои на берегах разреза загружены постоянным нормальным сжимающим напряжением  $p$ , то граничные условия при  $\xi = 0$  будут (из соображений симметрии достаточно рассмотреть только область  $\xi \geq 0$ )

$$w_{\alpha}''' - \frac{\rho_2^2}{2} \left[ u_{\alpha+1} - u_{\alpha-1} + \frac{1}{2} (w'_{\alpha+1} - 2w'_{\alpha} + w'_{\alpha-1}) \right] = 0 \quad (-\infty < \alpha < \infty)$$

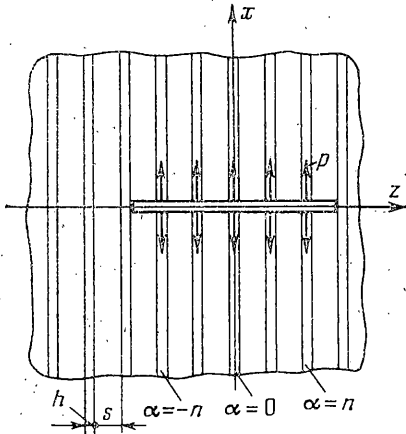
$$Au_{\alpha}' = -ph, \quad Dw_{\alpha}'' = 0 \quad (|\alpha| \leq n); \quad u_{\alpha} = 0, \quad w_{\alpha}' = 0 \quad (|\alpha| > n) \quad (1.2)$$

где  $\alpha = \pm n$  — номера крайних разрезанных слоев. Левая часть первой группы этих условий представляет некоторую обобщенную поперечную

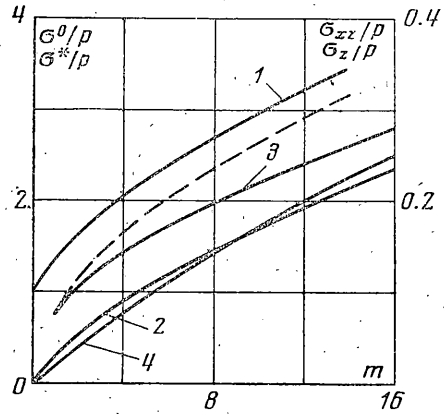
силу в жестком слое с учетом касательных напряжений в соседних мягких слоях [2]. Вторая строка определяет продольную силу и момент на границе разрезанных жестких слоев, последние условия очевидны. Напряжения должны удовлетворять также условиям ограниченности на бесконечности.

Введем на поверхности разреза ( $|\alpha| \leq n$ ) неизвестные значения тангенциальных смещений  $\zeta_\alpha$  и поворотов нормалей  $\mu_\alpha$  жестких слоев. Тогда вместо последней строки условий (1.2) получим

$$u_\alpha(0) = \zeta_\alpha, \quad w_\alpha'(0) = \mu_\alpha \quad (-\infty < \alpha < \infty, \zeta_\alpha = \mu_\alpha = 0 \text{ при } |\alpha| > n) \quad (1.3)$$



Фиг. 1



Фиг. 2

Неизвестные поля перемещений  $u_\alpha(\xi)$ ,  $w_\alpha(\xi)$  при  $\xi \geq 0$  являются непрерывными по  $\xi$  и дискретными по  $z$  функциями

$$\sum_{\alpha=-\infty}^{\infty} u_\alpha(\xi) \delta\left(\frac{z}{c} - \alpha\right), \quad \sum_{\alpha=-\infty}^{\infty} w_\alpha(\xi) \delta\left(\frac{z}{c} - \alpha\right)$$

Применим к уравнениям (1.1) и граничным условиям (1.2), (1.3) преобразование Фурье – Стильтеса по переменной  $z$ . Формулы прямого и обратного преобразования имеют вид

$$u(\xi, \psi) = \sum_{\alpha=-\infty}^{\infty} u_\alpha e^{i\alpha\psi}, \quad u_\alpha = \frac{1}{2\pi} \int_{-\pi}^{\pi} u(\xi, \psi) e^{-i\alpha\psi} d\psi \quad (1.4)$$

Для трансформант получим краевую задачу относительно системы обыкновенных дифференциальных уравнений

$$u'' - u\rho_1^2 \sin^2 \frac{1}{2}\psi - \frac{1}{4}w'\rho_1^2 \sin \psi = 0 \quad (1.5)$$

$$w^{IV} - w''\rho_2^2 \cos^2 \frac{1}{2}\psi + w\rho_3^2 \sin^2 \frac{1}{2}\psi + u'\rho_2^2 \sin \psi = 0$$

$$u = \sum_{\alpha=-n}^n \zeta_\alpha \cos \alpha\psi, \quad w = i \sum_{\alpha=-n}^n \mu_\alpha \sin \alpha\psi$$

$$w''' - w'\rho_2^2 \cos^2 \frac{1}{2}\psi + u i \rho_2^2 \sin \psi = 0 \quad (\xi=0) \quad (1.6)$$

Решение этой задачи должно удовлетворять также условиям ограниченности при  $\xi \rightarrow \infty$ .

Для существования трансформант Фурье — Стилтеса необходимо, чтобы функции  $u_\alpha$ ,  $w_\alpha$  удовлетворяли условиям ограниченности при  $\alpha \rightarrow \infty$ . Можно показать, что выполнение этих условий является следствием самоуравновешенности системы сил на берегах разреза.

Решая задачу (1.5), (1.6) и используя формулы обращения (1.4), получим

$$u_\alpha = \sum_{\beta=-n}^n (\zeta_\beta B_{\alpha\beta} + \mu_\beta C_{\alpha\beta}), \quad w_\alpha = \sum_{\beta=-n}^n (\zeta_\beta D_{\alpha\beta} + \mu_\beta F_{\alpha\beta}) \quad (1.7)$$

$$B_{\alpha\beta} = \frac{1}{\pi} \int_0^\pi \frac{\cos(\alpha-\beta)\psi}{a} \sum_{j=1}^3 t_j A_{1j} e^{t_j \xi} d\psi$$

$$C_{\alpha\beta} = \frac{\rho_1^2}{4\pi} \int_0^\pi \frac{\sin \psi \sin(\alpha-\beta)\psi}{a} \sum_{j=1}^3 t_j A_{2j} e^{t_j \xi} d\psi$$

$$D_{\alpha\beta} = -\frac{4}{\pi \rho_1^2} \int_0^\pi \frac{\sin(\alpha-\beta)\psi}{a \sin \psi} \sum_{j=1}^3 f_j A_{1j} e^{t_j \xi} d\psi$$

$$F_{\alpha\beta} = \frac{1}{\pi} \int_0^\pi \frac{\cos(\alpha-\beta)\psi}{a} \sum_{j=1}^3 f_j A_{2j} e^{t_j \xi} d\psi$$

Здесь  $t_j(\psi)$  — характеристические показатели системы (1.5) с отрицательными действительными частями,  $a$  и  $A_{jk}$  — определитель и алгебраические дополнения матрицы  $a_{jk}$ :

$$a_{1k} = t_k, \quad a_{2k} = t_k f_k, \quad a_{3k} = t_k^{-1} f_k \rho_3^2 \sin^2 \psi / 2, \quad f_k = t_k^2 - \rho_1^2 \sin^2 \psi / 2$$

Значения параметров  $\zeta_\alpha$ ,  $\mu_\alpha$  в (1.7) определяются из неиспользованных условий (1.2) на границе разреза ( $\xi=0$ )

$$\sum_{\beta=-n}^n (\zeta_\beta B_{\alpha\beta}' + \mu_\beta C_{\alpha\beta}') = -\frac{p h}{A}, \quad \sum_{\beta=-n}^n (\zeta_\beta D_{\alpha\beta}'' + \mu_\beta F_{\alpha\beta}'') = 0 \quad (\alpha = -n, -n+1, \dots, n) \quad (1.8)$$

Коэффициенты здесь получаются дифференцированием формул (1.7) и приравнованием  $\xi$  нулю. Система (1.8) является дискретным аналогом интегральных уравнений в задаче о трещине или штампе в несимметричной теории упругости. После подстановки решения системы (1.8) в формулы (1.7) вычисляются напряжения в слоях по формулам работы [7].

2. На фиг. 2 приведены результаты вычисления максимальных напряжений в жестких и мягких слоях среды при растяжении ее постоянным на бесконечности напряжением в жестких слоях  $p$  в зависимости от длины разреза. Решение этой задачи получается наложением на решение п. 1 однородного растяжения.

Кривые 1, 2 соответствуют мембранному  $\sigma_{n+1}^0(0)$  и максимальному изгибному  $\sigma_{n+1}^*(0)$  напряжениям в жестком слое, ближайшем к разрезу. Кривая 3 показывает зависимость от длины разреза максимального касательного напряжения  $\sigma_{xz, n+1}(0)$  в конце разреза, кривая 4 — максимального поперечного нормального напряжения  $\sigma_{z, n+2}(0)$  в мягком слое перед разрезом.

По оси абсцисс отложено полное число разрезанных жестких слоев  $m=2n+1$ . Результаты получены при  $h/s=1$ ,  $E/G=100$ ,  $\nu=0.25$ ,  $\nu'=0.4$ . Здесь  $E$  и  $\nu$  — упругие константы жесткого слоя,  $G$  и  $\nu'$  — мягкого.

Из результатов вычислений видно, что напряжения в дискретной модели среды ограничены всюду при любом количестве разрезанных слоев  $m$ , хотя и увеличиваются с ростом  $m$ .

Применение более общей дискретной модели слоистой среды по сравнению с [3-5, 8] вносит существенные изменения в картину распределения напряжений вблизи края разреза. Так, величина поперечных нормальных напряжений в мягких слоях  $\sigma_z$ , которые не учитываются в упомянутых моделях, сопоставима с величиной касательных напряжений  $\sigma_{xz}$ , а при некоторых значениях параметров среды и превосходит последние. Наибольшие значения  $\sigma_{xz}$  в используемой модели значительно ниже, чем в упрощенной ( $\sigma_{xz}$  для модели [3-5] отмечены на фиг. 2 пунктирной кривой).

Полученные результаты позволяют сделать выводы и о возможных механизмах разрушения слоистого материала с внутренней трещиной, нормальной к слоям. Так, отношение касательных напряжений  $\sigma_{xz}$  в мягких слоях к максимальным полным  $\sigma_{n+1}^0 + \sigma_{n+1}^*$  в жестких слоях практически не меняется при изменении длины разреза и зависит лишь от параметров среды, что согласуется с известными результатами для континуальной модели среды.

Отсюда следует, что вид разрушения (распространение прямолинейной трещины в направлении разреза или расслоение по мягким слоям перпендикулярно разрезу) определяется свойствами среды и мало зависит от длины разреза. Этот вывод качественно подтверждается экспериментальными данными по разрушению однонаправленных композитов [3]. Кроме того, использованная здесь модель позволяет описать еще один вид разрушения, наблюдаемый в экспериментах — отслоение впереди конца разреза, причиной которого являются нормальные напряжения в мягком слое  $\sigma_{z, n+2}$ .

3. Представляет интерес исследование асимптотики распределения напряжений у края разреза при сохранении длины его  $2l$  неизменной и увеличении числа разрезанных слоев за счет уменьшения их толщины  $s$ . В пределе последовательность решений таких задач дает решение задачи о разрезе в континуальной ортотропной моментной в направлении  $x$  (полумоментной) среде. Подобное исследование необходимо для ответа на вопрос о том, при каких отношениях длины разреза к толщине слоя можно пользоваться континуальной моделью. Кроме того, оно позволяет наметить путь определения микроструктурных напряжений (напряжений в слоях) по результатам решения континуальной задачи.

В линейной механике хрупкого разрушения параметрами, определяющими распределение напряжений вблизи конца трещины, являются коэффициенты интенсивности напряжений

$$k_1 = \lim_{z \rightarrow l+0} \sigma_x(0, z) \sqrt{2(z-l)}$$

В дискретной модели при увеличении числа разрезанных слоев  $m=2n+1$  и условии сохранения неизменной длины разреза расстояние от конца его до срединной плоскости слоя  $\alpha=n+j$  ( $j=\text{const}$ ) уменьшается. Поэтому для вычисления коэффициента интенсивности мембранных напряжений в эквивалентной континуальной задаче можно рассмотреть последовательность решений дискретных задач с различным  $m$  и выразить  $k_1$  через предел числовой последовательности

$$k_1 = \lim_{m \rightarrow \infty} \sigma_{n+j}^0(0) \sqrt{2(z_{n+j}-l)} \quad (3.4)$$

Здесь  $z_{n+j}=c(n+j)$  — координата срединной плоскости слоя  $\alpha=n+j$ .

Однако для дискретной модели положение края разреза не определено в интервале  $(z_n, z_{n+1})$ ; поэтому не определена величина  $l$ . Чтобы определить  $l$ , воспользуемся тем, что величина  $k_1$  не должна зависеть от  $j$ .

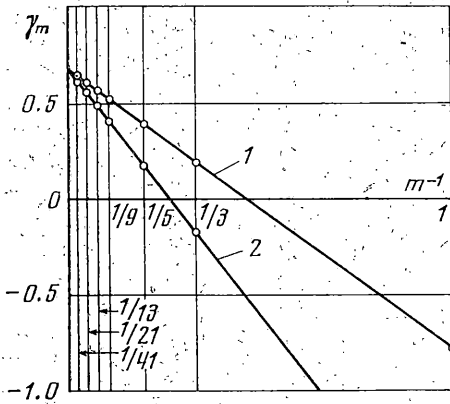
Обозначим через  $s_0$  расстояние от срединной плоскости крайнего разрезанного жесткого слоя ( $\alpha=n$ ) до точки, которую необходимо счи-

тать краем разреза ( $l=nc+c_0$ ). Полагая в (3.1) последовательно  $j=i$ ,  $q$  и приравнявая результаты, получим

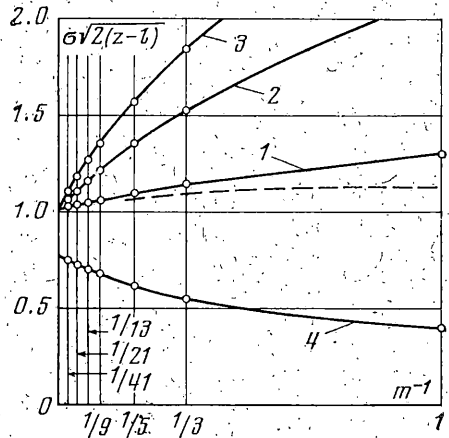
$$\lim_{m \rightarrow \infty} (\sigma_{n+i}^\circ)^2 \left( i - \frac{c_0}{c} \right) = \lim_{m \rightarrow \infty} (\sigma_{n+q}^\circ)^2 \left( q - \frac{c_0}{c} \right)$$

$$\frac{c_0}{c} = \lim_{m \rightarrow \infty} \gamma_m(i, q), \quad \gamma_m = \frac{q-i(\sigma_{n+i}^\circ/\sigma_{n+q}^\circ)^2}{1-(\sigma_{n+i}^\circ/\sigma_{n+q}^\circ)^2}$$

На фиг. 3 построены последовательности  $\gamma_m$  в зависимости от  $1/m$  для  $i=1$ ,  $q=2, 3$ . Точки последовательностей условно соединены линиями 1 ( $q=2$ ) и 2 ( $q=3$ ). Из графиков получаем  $c_0/c \approx 0.68$ . Таким образом, при вычислении коэффициентов интенсивности примем  $l=(n+0.68)c$ .



Фиг. 3



Фиг. 4

Последовательности, стоящие в (3.1) под знаком предела, отнесенные к  $p^{1/2}$ , построены на фиг. 4 для различных  $j=1, 2, 3$  и соединены сплошными кривыми 1, 2, 3. Пределы, как видно из результатов, с большой точностью равны единице. Это согласуется со значениями безразмерных коэффициентов интенсивности  $k_i/(p^{1/2})$  в соответствующей задаче как для классической модели среды [9], так и для моментной континуальной среды [10].

Вычисления показывают, что варьирование параметров слоистой среды практически не влияет на распределение мембранных напряжений на оси  $z$  при  $m \geq 3$ , а следовательно, и на величины  $c_0$  и  $k_1$ .

Пунктирная кривая на фиг. 4 приведена для сравнения зависимости  $\sigma_x \sqrt{2(z-l)}^{1/2} \times p^{-1} l^{-1/2}$  от  $z$  при  $x=0$  в соответствующей задаче для однородной среды [9]. При этом по оси абсцисс отложены значения  $z$ , соответствующие координате срединной плоскости жесткого слоя  $\alpha=n+1$ . Из сопоставления сплошной кривой для  $j=1$  и пунктирной следует, что уже при  $m \geq 5$  решение континуальной задачи можно использовать для определения максимумов мембранных напряжений в дискретной модели, назначив предварительно координату конца разреза  $c_0/c$ .

Кривая 4 на фиг. 4 соединяет точки последовательности, пределом которой является коэффициент интенсивности максимальных моментных напряжений  $k_1^* p^{-1} l^{-1/2}$  в эквивалентной однородной моментной среде. Для данных, принятых в расчете, он оказался равным приблизительно 0.75. На величину  $k_1^*$  в отличие от  $k_1$  геометрические и упругие свойства среды оказывают существенное влияние.

Таким образом, для слоистых сред с конечной изгибной жесткостью армирующих элементов применение упрощенных дискретных моделей для определения напряжений у конца разреза ведет к преуменьшению максимальных значений напряжений в жестких слоях и преувеличению напряжений сдвига в мягких.

При небольшом количестве разрезанных слоев ( $m < 5$ ) необходимо пользоваться дискретной моделью среды для определения напряжений в ее элементах. При большем  $m$  для этой цели можно использовать континуальную модель, правильно выбрав расстояние от конца разреза до первого неразрезанного жесткого слоя:

Поступила 5 V 1976

#### ЛИТЕРАТУРА

1. *Бологин В. В.* К теории слоистых плит. Изв. АН СССР. ОТН. Механика и машиностроение, 1963, № 3.
2. *Бологин В. В.* Прочность, устойчивость и колебания многослойных пластин. В сб.: Расчеты на прочность, вып. 11. М., «Машиностроение», 1965.
3. *Кортен Х. Т.* Разрушение армированных пластиков. М., «Химия», 1967.
4. *Hedgepeth J. M., Van Dyke P.* Local stress concentrations in imperfect filamentary composite materials. J. Composite Materials, 1967, vol. 1, No. 3.
5. *Михайлов А. М.* О разрушении однонаправленного стеклопластика. Изв. АН СССР. МТТ, 1973, № 5.
6. *Бологин В. В., Парцевский В. В.* Напряжения в слоистой среде при действии сосредоточенной силы. Инж. ж. МТТ, 1968, № 2.
7. *Парцевский В. В.* О растяжении слоистого пространства с вырезами, нормальными к слоям. Изв. АН СССР. МТТ, 1970, № 4.
8. *Eringen A. C., Kim B. S.* Stress concentration in filamentary composites with broken fibers. Letter in Appl. and Engng Sci., 1974, vol. 2, No. 1.
9. *Sneddon I. N., Lowengrub M.* Crack problem in the classical theory of elasticity. N. Y., Wiley, 1969.
10. *Sternberg E., Muki R.* The effect of couple-stresses on the stress concentration around a crack. Internat. J. Solids and Structure, 1967, vol. 3, No. 1.